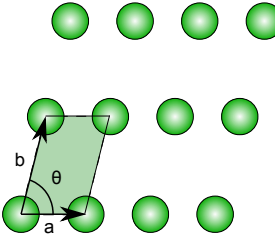
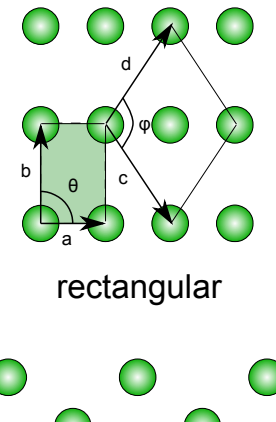
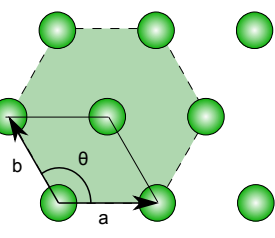
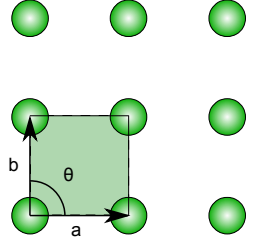


Sistemas cristalinos

Se definen en base a las longitudes de los vectores primitivos y al ángulo que forman entre si.

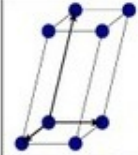
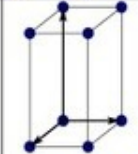
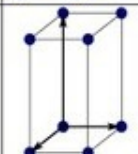
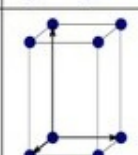
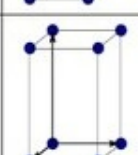
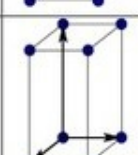
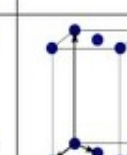
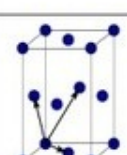
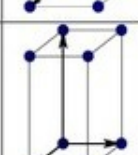
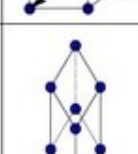
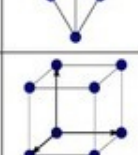
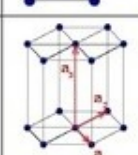
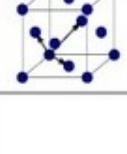
Sistema cristalino	Longitudes	Ángulos
cúbico	$a = b = c$	$\alpha = \beta = \gamma = 90^\circ$
trigonal	$a = b = c$	$\alpha = \beta = \gamma < 120^\circ, \neq 90^\circ$
hexagonal	$a = b \neq c$	$\alpha = \beta = 90^\circ, \gamma = 120^\circ$
tetragonal	$a = b \neq c$	$\alpha = \beta = \gamma = 90^\circ$
ortorómbico	$a \neq b \neq c$	$\alpha = \beta = \gamma = 90^\circ$
monoclínico	$a \neq b \neq c$	$\alpha = \beta = 90^\circ \neq \gamma$
triclínico	$a \neq b \neq c$	$\alpha \neq \beta \neq \gamma$

Redes de Bravais en 2D

	 <p>rectangular rectangular centrado</p>		 <p>cuadrada</p>
$ a \neq b , \theta \neq 90^\circ$ oblicuo	$ a \neq b , \theta = 90^\circ$ $ c = d , \varphi \neq 90^\circ$ ortorrombico	$ a = b , \theta = 120^\circ$ hexagonal	$ a = b , \theta = 90^\circ$ tetragonal

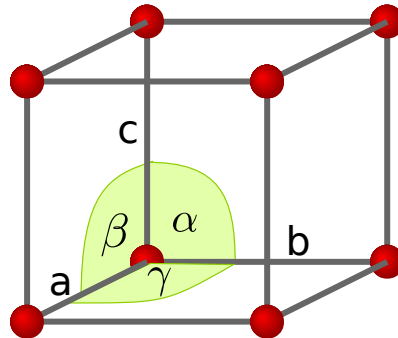
Redes de Bravais en 3D

Hay 14 redes de Bravais en tres dimensiones

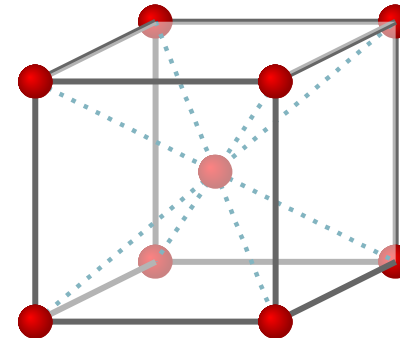
Bravais lattice	Parameters	Simple (P)	Volume centered (I)	Base centered (C)	Face centered (F)
Triclinic	$a_1 \neq a_2 \neq a_3$ $\alpha_{12} \neq \alpha_{23} \neq \alpha_{31}$				
Monoclinic	$a_1 \neq a_2 \neq a_3$ $\alpha_{23} = \alpha_{31} = 90^\circ$ $\alpha_{12} \neq 90^\circ$				
Orthorhombic	$a_1 \neq a_2 \neq a_3$ $\alpha_{12} = \alpha_{23} = \alpha_{31} = 90^\circ$				
Tetragonal	$a_1 = a_2 \neq a_3$ $\alpha_{12} = \alpha_{23} = \alpha_{31} = 90^\circ$				
Trigonal	$a_1 = a_2 = a_3$ $\alpha_{12} = \alpha_{23} = \alpha_{31} < 120^\circ$				
Cubic	$a_1 = a_2 = a_3$ $\alpha_{12} = \alpha_{23} = \alpha_{31} = 90^\circ$				
Hexagonal	$a_1 = a_2 \neq a_3$ $\alpha_{12} = 120^\circ$ $\alpha_{23} = \alpha_{31} = 90^\circ$				

Redes de Bravais en 3D

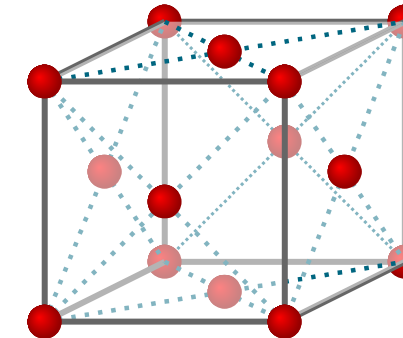
- Cúbica



cúbica simple
(SC)



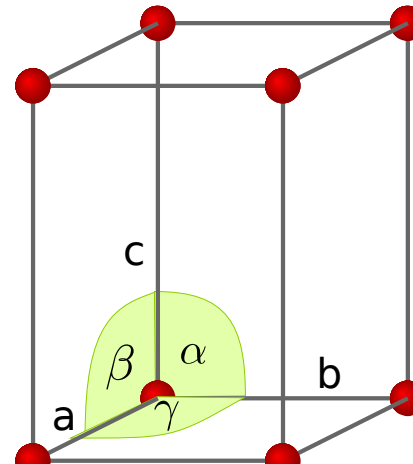
centrada en el
cuerpo (BCC)



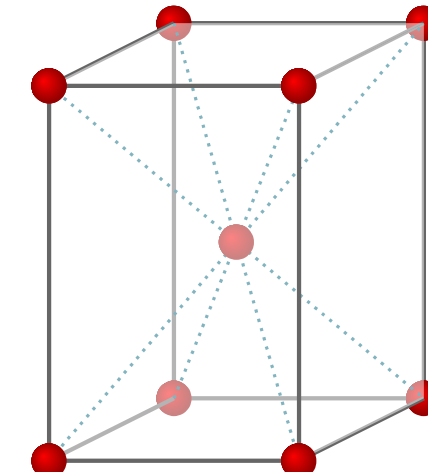
centrada en la
cara (FCC)

Redes de Bravais en 3D

- Tetragonal



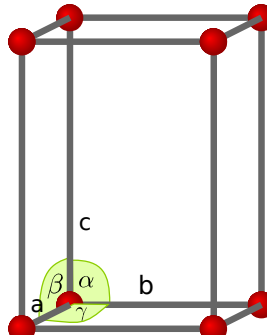
simple



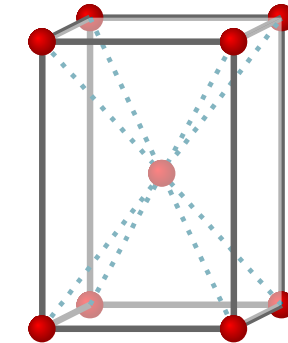
centrada en el
cuerpo (BCT)

Redes de Bravais en 3D

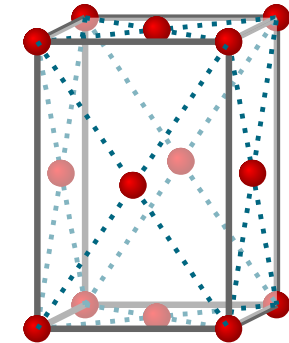
- Ortorrómbica



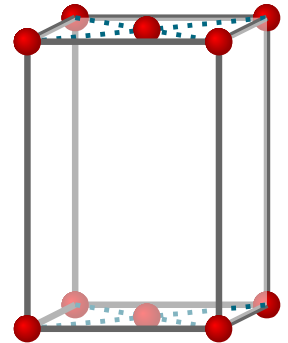
simple



centrada en
el cuerpo



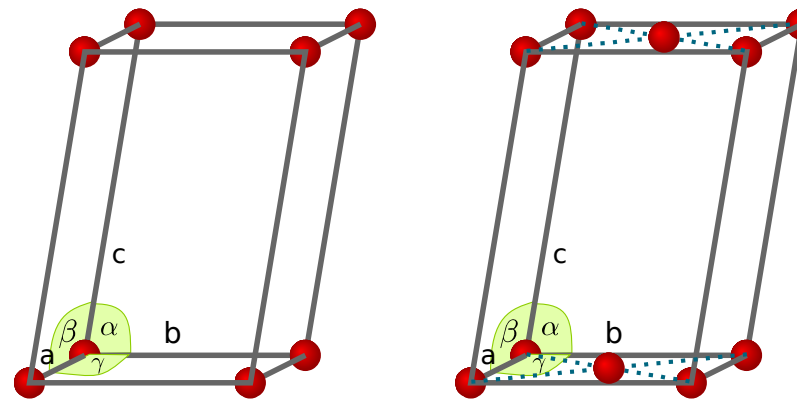
centrada en
la cara



centrada en
la base

Redes de Bravais en 3D

- Monoclínica

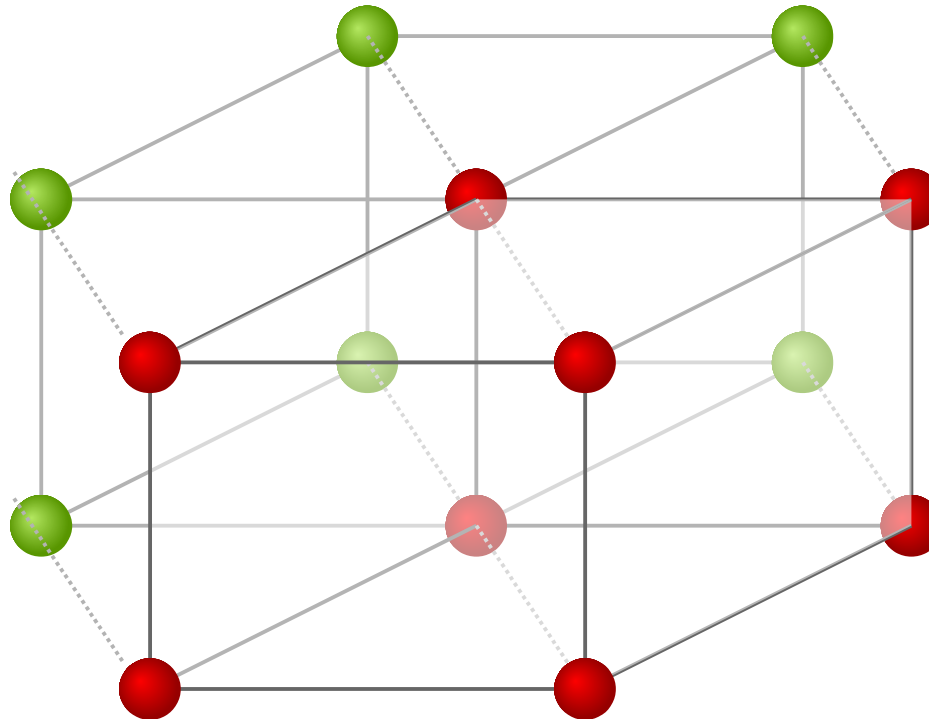


primitiva

centrada en
la base

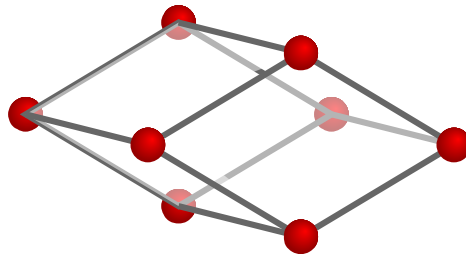
Redes de Bravais en 3D

- Hexagonal

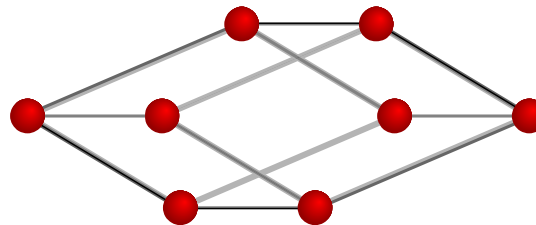


Redes de Bravais en 3D

- Trigonal y triclinica

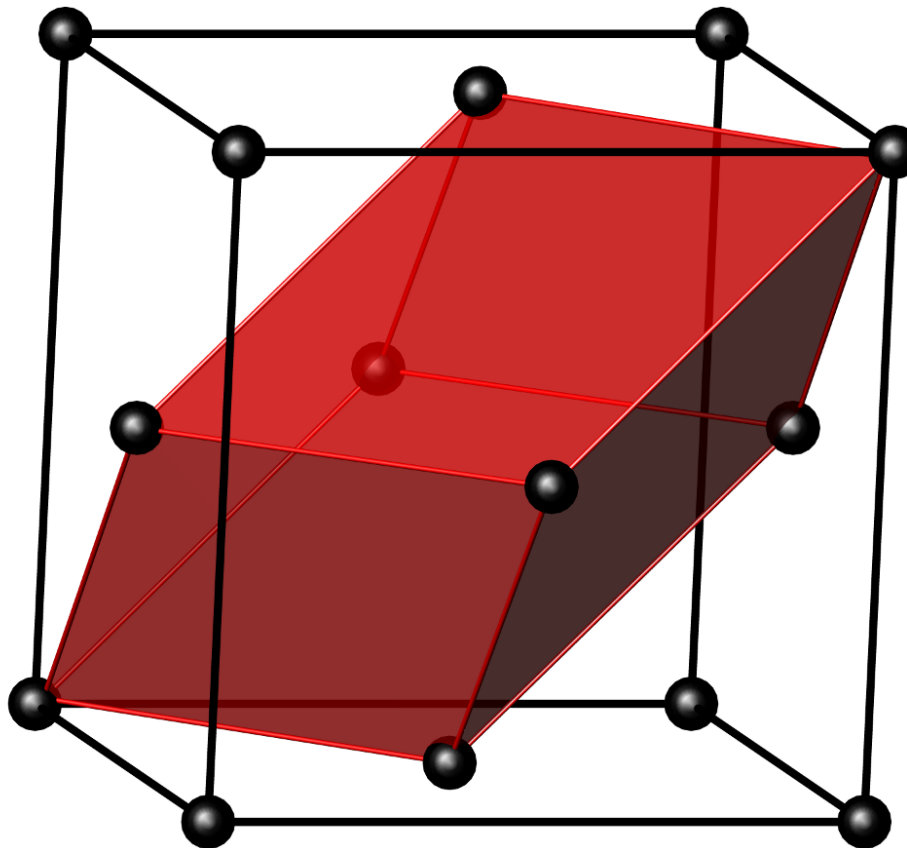


trigonal

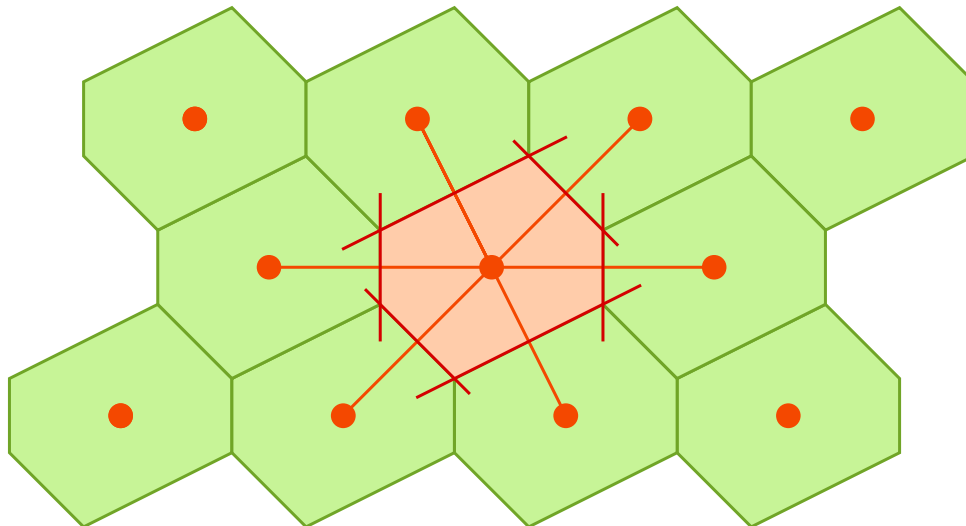


triclinica

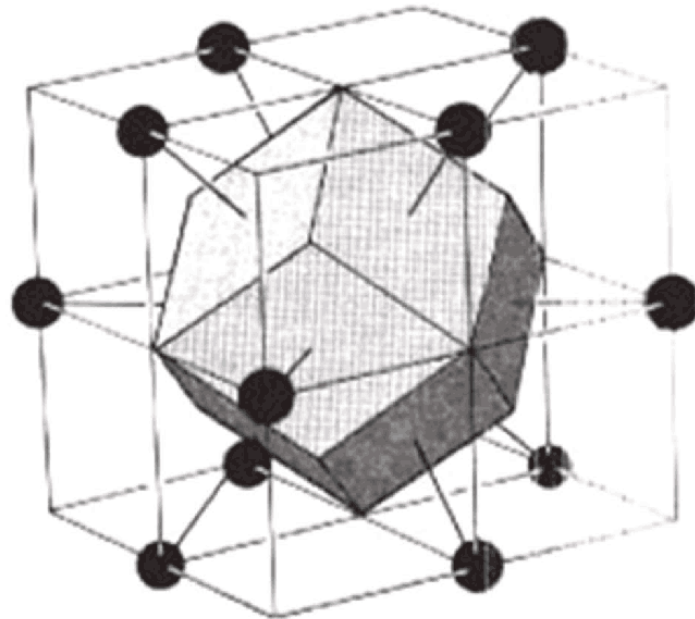
Celda primitiva FCC



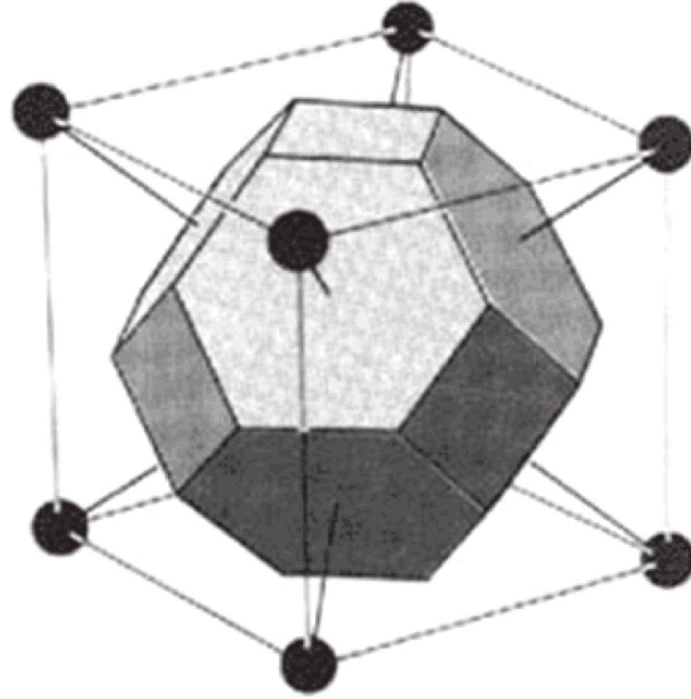
Celda de Wigner-Seitz



Celda de Wigner-Seitz



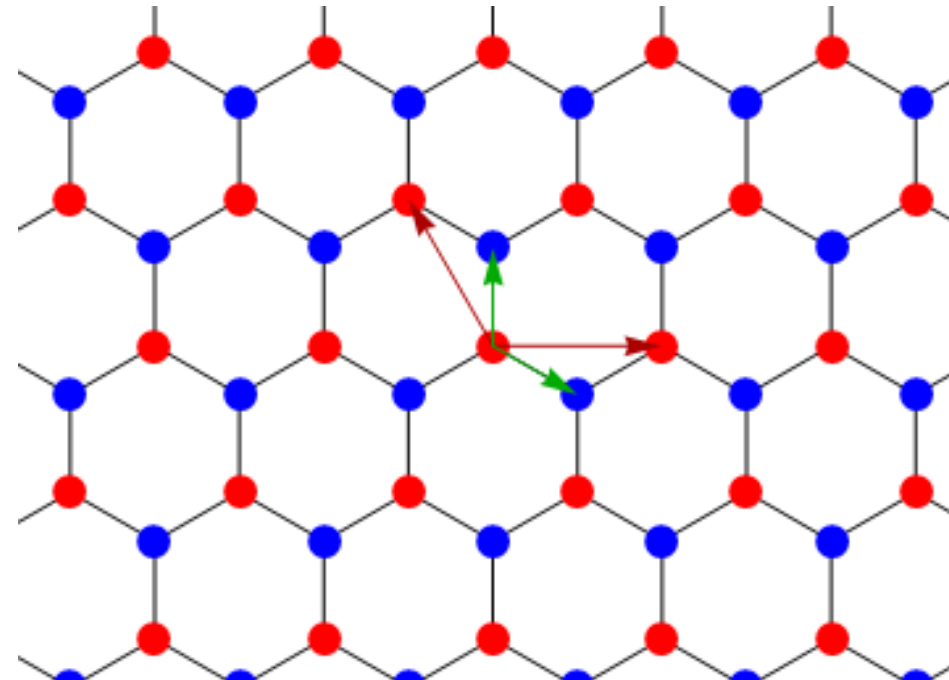
Face Centered Cubic



Body Centered Cubic

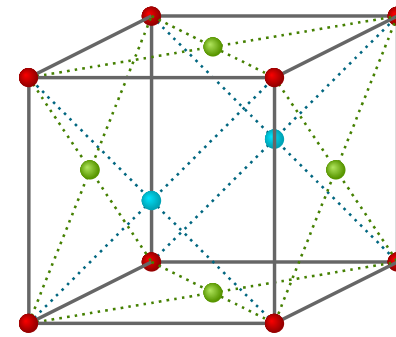
Estructuras cristalinas

Grafeno

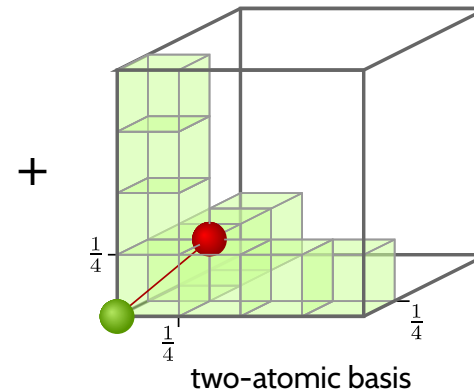


Estructuras cristalinas

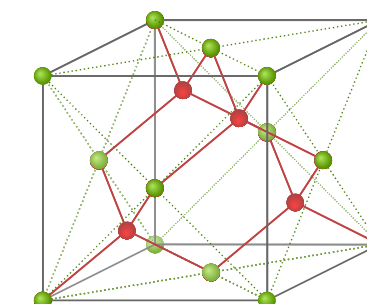
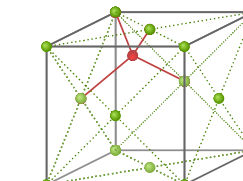
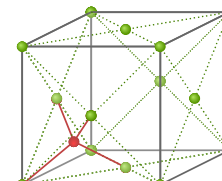
Diamante



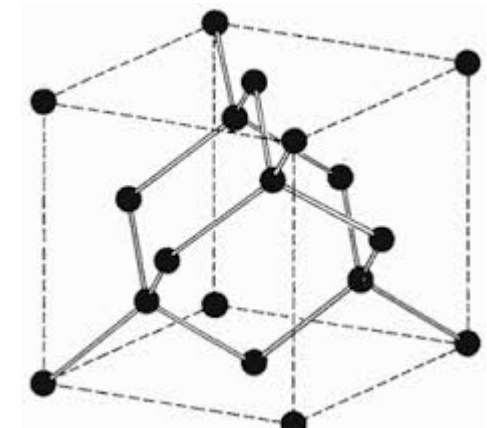
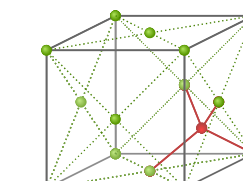
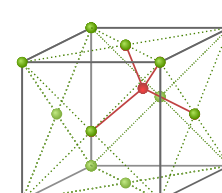
fcc structure



two-atomic basis

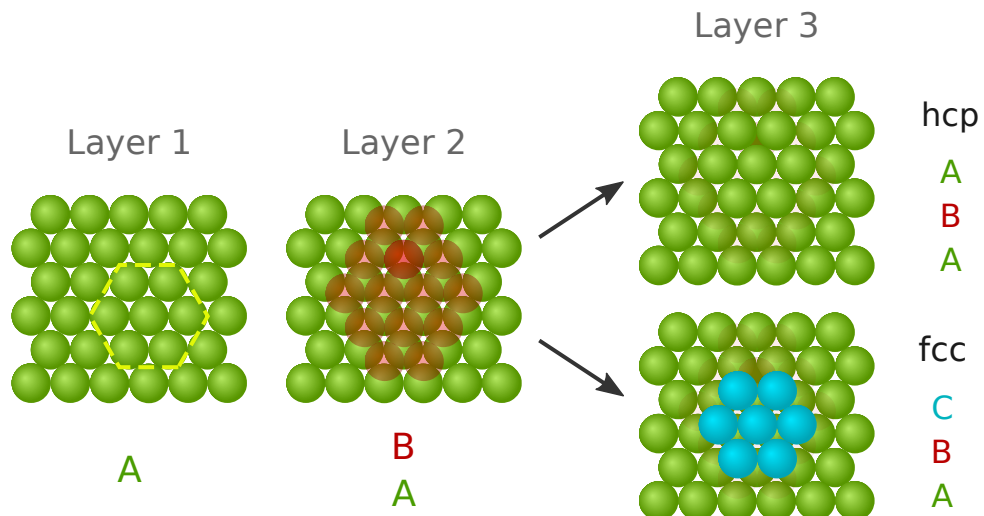
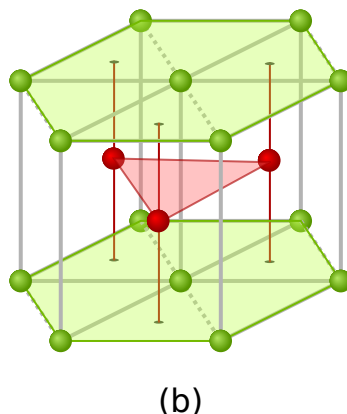
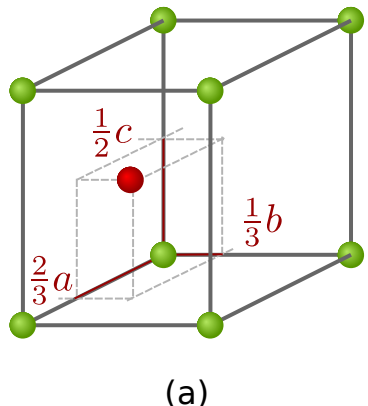


diamond structure



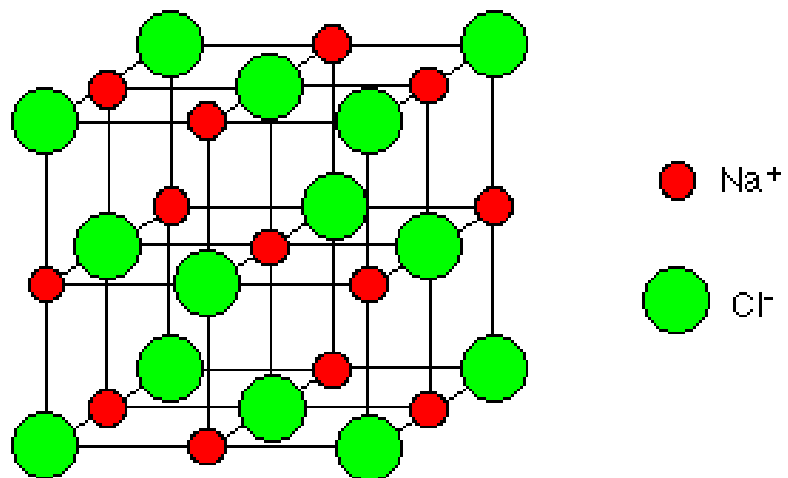
Estructuras cristalinas

HCP

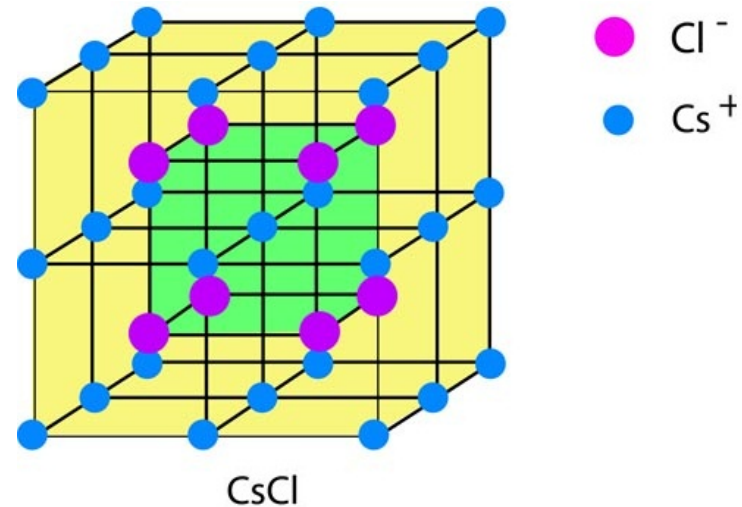


Estructuras cristalinas

Cloruro de sodio



Cloruro de cesio



Estructuras cristalinas

Zincblenda

